

3 Implementação de um controlador PID digital (Matlab)

3.1 Algoritmo PID ideal

Discretizando a equação do algoritmo PID de posição:

$$(3-1) \quad m(t) = k_c e(t) + \frac{k_c}{T_i} \int_0^t e(t) dt + k_c T_d \frac{de(t)}{dt}$$

obtem-se o sinal de controlo discreto, m_k , a partir de:

$$(3-2) \quad m_k = k_p e_k + k_i S_k + k_d (e_k - e_{k-1})$$

onde:

$$(3-3) \quad S_k = S_{k-1} + e_k$$

e os novos parâmetros estão relacionados com os analógicos da seguinte forma:

$$(3-4) \quad \begin{cases} k_p = k_c \\ k_i = k_c \frac{\Delta T}{T_i} \\ k_d = k_c \frac{T_d}{\Delta T} \end{cases}$$

Pode-se também derivar o algoritmo de velocidade a partir de:

$$(3-5) \quad \Delta m_k = m_k - m_{k-1}$$

Este tem como saída o incremento (ou decremento) no valor da variável manipulada em cada instante (Δm_k) e não o valor absoluto desta variável (m_k):

$$(3-6) \quad \Delta m_k = e_k (k_p + k_i + k_d) - e_{k-1} (k_p + 2k_d) + e_{k-2} k_d$$

Uma implementação do algoritmo de posição, no formato de S-function (Matlab):

```
function [sys, x0, str, ts] = pid_pos (t, x, u, flag, ts, kc, Ti, Td)
persistent s ek_1

if flag == 0 %inicialização
    sys = [0 0 1 1 0 1 1];
    x0 = [ ];
    str = [ ];
    ts = [-2 0]; %tempo de amostragem variável
    s=0;

elseif flag == 4 %Calcula próximo instante de amostragem
    ns = t / ts; %ns n° de amostras
    sys = (1 + floor(ns + 1e-13*(1+ns)))*ts; %momento próxima amostra

elseif flag == 3
    if t==0 ek_1=u(1); end;

    kp=kc; ki=kc*ts/Ti; kd=kc*Td/ts; %Converte parametros

    ek=u(1);
    s = s + ek;
    m=kp*ek+ki*s+kd*(ek-ek_1);

    ek_1=u(1);
    sys = m;

else %por defeito não retorna nada
    sys = [ ];
end
```

Algoritmo 3-1: PID de posição em Matlab (S-function)

Repare-se que esta função assume como parâmetros de entrada k_c , T_i e T_d e converte-os para os parâmetros k_p , k_i e k_d .

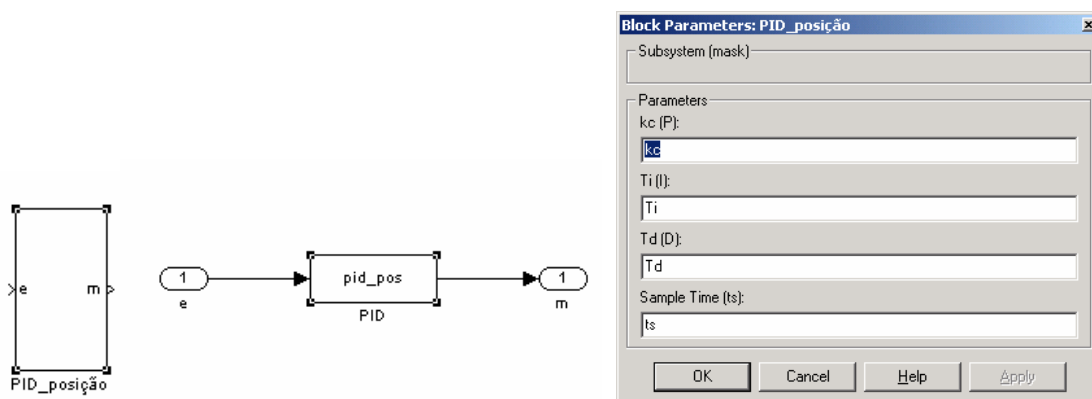


Fig. 3-1: Diagrama blocos do Controlador PID discreto (posição)

Criar o bloco PID de posição como descrito acima num modelo. A partir da janela principal do Matlab: **File->new->Model**.

Os blocos podem ser guardados numa biblioteca para uso futuro. A partir da janela do Modelo: **File->new->Library** abre uma janela de biblioteca. Pode-se agora arrastar o bloco **PID_posição** para a biblioteca.

Na biblioteca além dos blocos devem ser guardadas também as s-functions correspondentes. Para isso criar um directório, por ex. **pid_lib**, e guardar nesse directório a biblioteca com o nome **pid_lib**. Copiar agora a s-function **pid_pos.m** para esse mesmo directório.

Para que esse directório fique registado no caminho do Matlab, de modo que as s-functions estejam acessíveis a partir da janela principal do Matlab: **File->Set path**, e depois adicionar ao caminho o directório onde está a biblioteca: **pid_lib**.

Pode-se agora obter o controlador PID de velocidade a partir do controlador de posição, Algoritmo 3-1. Na janela da biblioteca:

- #1 copiar o bloco **PID_Posição** e renomeá-lo para **PID_velocidade**.
- #2 Abrir a máscara e mudar o nome da s-function para **pid_vel**
- #3 Copiar o ficheiro com a s-function **pid_pos.m** para **pid_vel.m** e alterar o código para:

```
function [sys, x0, str, ts] = pid_vel (t, x, u, flag, ts, kc, Ti, Td)

persistent ek_    % passa a ter só uma variável persistente:
(...)
if flag == 0
    % apagar a inicialização da variável: s = 0
(...)
elseif (flag == 3)    % substituir por:
    if t==0 ek_ = ones(2,1)*u(1); end        %ek_(1) -> ek-1, ek(2) -> ek-2
    kp=kc; ki=kc*ts/Ti; kd=kc*Td/ts;        %Converte parametros
    ek=u(1);
    dm=ek*(kp+ki+kd)-ek_(1)*(kp+2*kd)+ek_(2)*kd;
    ek_(2)=ek_(1);
    ek_(1)=ek;
    sys = dm;
```

Algoritmo 3-2: PID de velocidade (alterações ao Algoritmo 3-1 PID de posição)

Nota: se não fôr possível efectuar alterações na biblioteca, é porque esta está protegida. Para a desproteger, na janela da biblioteca **Edit->Unlock Library**.

3.1.1 Resposta ao degrau do algoritmo PID

Vai-se agora analisar a resposta ao degrau dos controladores PID analógico e digital. Primeiro copiar para a biblioteca o controlador analógico fornecido pela biblioteca do Simulink. Para isso aceder à biblioteca do simulink digitando **simulink <enter>** na janela principal do Matlab e arrastar o PID controller para a biblioteca **pid_lib**. Agora ao ver por baixo da máscara a implementação deste controlador têm-se:

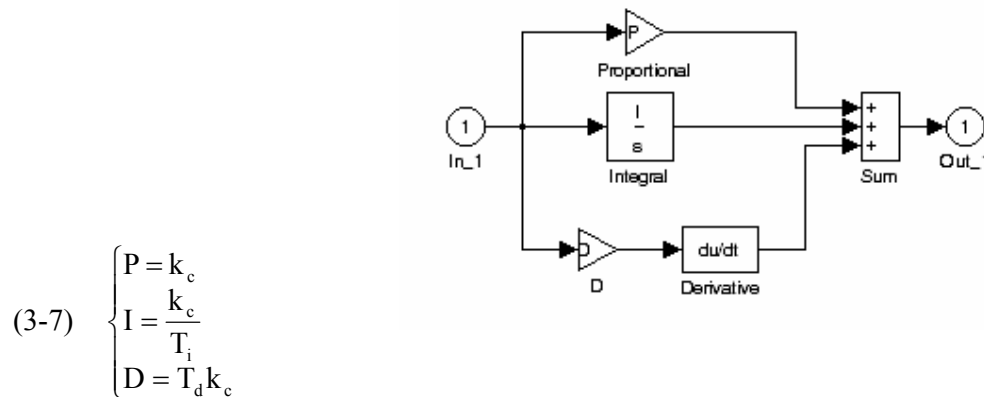


Fig. 3-2: PID analógico Matlab

No diagrama acima as constantes têm outra designação da já referida, sendo a correspondência dada por (3-7):

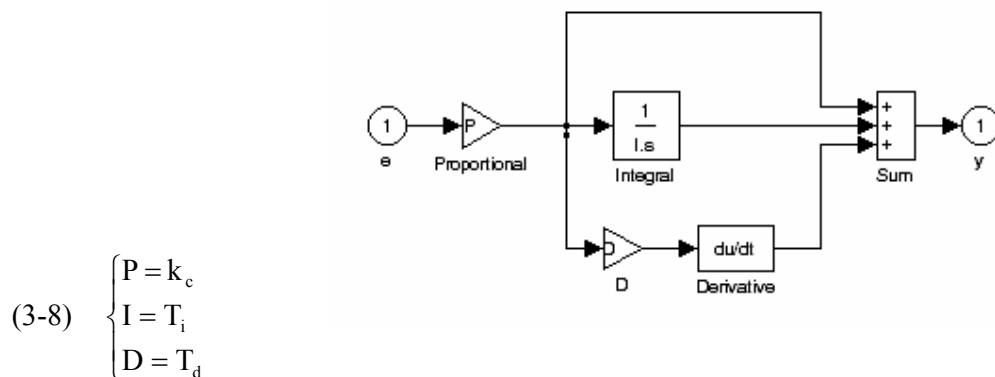


Fig. 3-3: PID analógico segundo equação (3-1)

A versão da Fig. 3-2 é uma implementação diferente do controlador já visto, pois não segue a equação (3-1), visto que a constante ($K_c = P$) apenas é aplicada ao termo proporcional, e não a todos os 3 termos, e a constante de tempo integral está invertida.

Para alterar esta implementação para que respeite a equação (3-1) pode-se alterar o diagrama da Fig. 3-2 de acordo com a Fig. 3-3 e renomear o bloco para **PID_analógico**). Repare-se que manipulando as constantes Proporcional, Integral e Derivativa como indicado na equação (3-7), ambos os modelos têm respostas idênticas.

Nesta disciplina vamos assumir que o modelo de PID é o dado pela equação (3-1) ou Fig. 3-3, pois os métodos de sintonia do PID estudados assumem este modelo.

Para comparar as diferentes implementações do algoritmo PID na resposta ao degrau desenhar o diagrama abaixo:

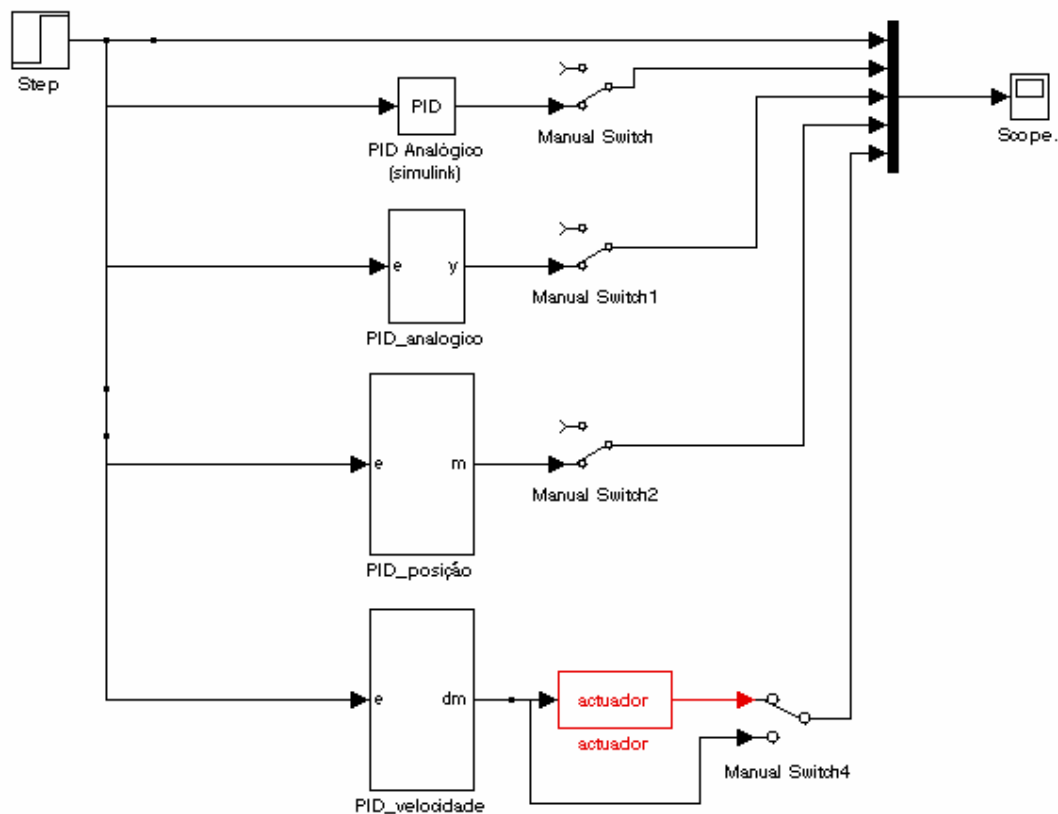


Fig. 3-4: Diagrama blocos para resposta ao degrau do controlador PID

Para já não inclua o bloco a **vermelho: actuator**. Os 4 manual switches permitem ligar o algoritmo correspondente de modo a apresentar no scope a saída deste.

Em cada bloco PID, colocar nos parâmetros Proporcional (K_c), Integral (T_i) e Derivativo (T_d), respectivamente as variáveis: **K_c** ; **T_d** e **T_I** . Nos blocos PID discretos colocar também

no parâmetro Sample Time a variável **ts**. No bloco step colocar no valor inicial do degrau 0 e no valor final do degrau a variável **uf**. O degrau ocorre no instante de tempo 1 segundo.

Estas variáveis deverão ser definidas no workspace do Matlab e permitem definir iguais parâmetros para todos os controladores do diagrama.

Gravar agora o modelo com o nome **pid00.mdl**. Este modelo **não** deve ser gravado no directório onde está a biblioteca **pid_lib**. Escolha outro directório, p. ex **STR_aula3**.

Neste directório vai-se também criar um script que permita lançar o modelo e definir os parâmetros do controlador. Este ficheiro vai chamar-se **pid_step.m**:

```

uf = 1           %Amplitude do degrau
Kc = 0.5        %define os parâmetros do controlador PID
Ti = 2
Td = 1
Ts = 0.25
pid00          %Abre modelo
    
```

Após executar a simulação deve-se obter no scope a seguinte figura:

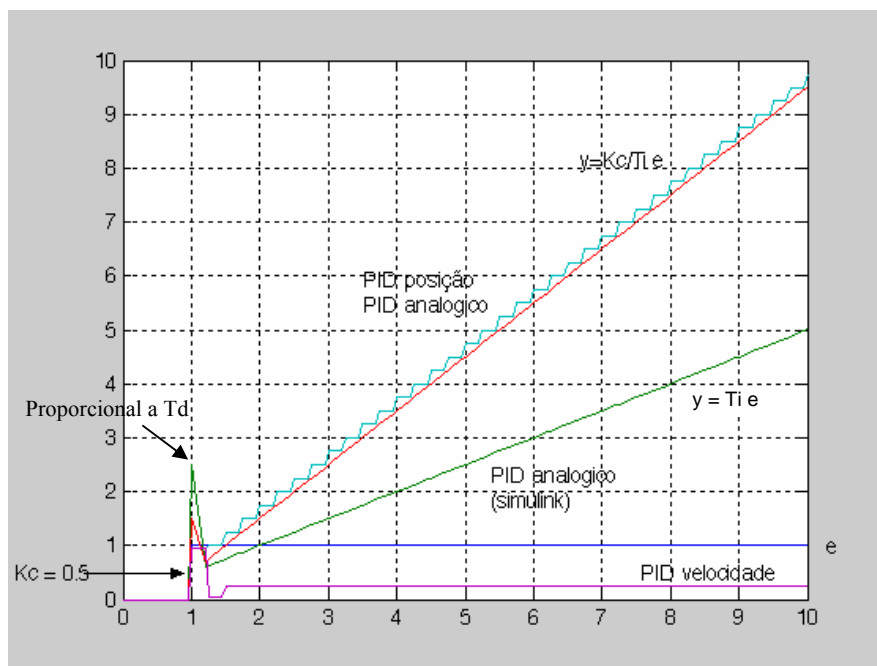


Fig. 3-5: Resposta ao degrau unitário do PID analógico e do discreto

Como se pode observar a resposta das implementações analógica e digital de posição são muito semelhantes. Se se pretender que a resposta do controlador digital seja mais rectilínea deve-se reduzir o intervalo de amostragem. Experimentar alterar $T_s = 0.1$ e executar outra vez a simulação.

A implementação analógica que acompanha a distribuição do simulink é uma rampa com menor declive, pois o declive da rampa neste caso é dado por $y = T_i e$, e não por $y = \frac{K_c}{T_i} e$.

Repare-se que o pico inicial na resposta é proporcional ao termo derivativo, e por isso cresce com T_d , de modo que alterando T_d para 0 e executando a simulação o pico não existe.

Assim o termo derivativo pode ser sintonizado para compensar uma resposta inicial do sistema demasiado amortecida, no entanto um valor demasiado grande pode provocar ligeiras oscilações na resposta do sistema, impedindo-o mesmo de estabilizar.

Já a resposta do PID_velocidade não é uma rampa, mas sim uma recta paralela ao degrau de entrada, pois constitui um incremento na posição do actuador e não a posição absoluta.

Para ensaiar o PID_velocidade vai-se simular um actuador. Este será implementado no formato de uma s-function, **actuador.m**, onde os parâmetros serão o intervalo de amostragem (ts), os valores de posição inicial (pini), mínimo (pmin) e máximo (pmax) do actuador:

```
Function [sys, x0, str, ts]=actuador (t, x, u, flag, ts, pmin, pmax, pini)
persistent act      %valor corrente do actuador [pmin, pmax].

if flag == 0
    sys = [0 0 1 1 0 1 1];
    x0 = [ ];
    str = [ ];
    ts = [-2 0];           %tempo de amostragem variável

    %Garante valores de posição máximo mínimo e inicial coerentes
    if pmin>pmax error ('Erro: Valor pmin tem de ser <= pmax!');
    elseif pini>pmax act = pmax;
    elseif pini<pmin act = pmin;
    else act=pini;        %inicializa posição do actuador
    end

elseif flag == 4
    ns = t / ts;
    sys = (1 + floor(ns + 1e-13*(1+ns)))*ts;

elseif flag == 3

    act=act+u(1);        %actualiza posição do actuador
    if act>pmax act = pmax; %garantido que não ultrapassa
    elseif act<pmin act = pmin; %os limites fisicos pmin e pmax
    end

    sys = act;

else
    sys = [ ];
end
```

Algoritmo 3-3: Actuador (S-function)

Mascarar o bloco do actuador de acordo com a figura seguinte:

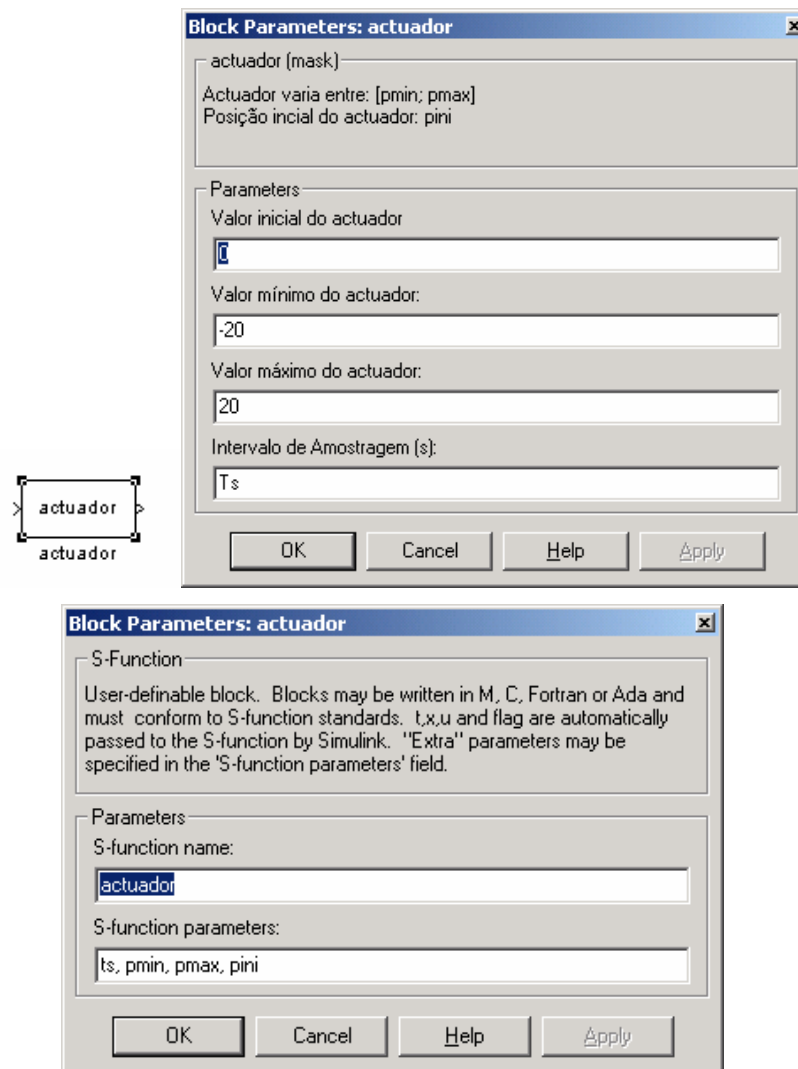


Fig. 3-6: Definição do actuador como s-function

Para já definir no actuador o valor inicial como 0, o mínimo como -20 e o máximo como 20 e o intervalo de amostragem a variável **Ts**.

Nota: Atenção que nos actuadores pode ser considerado um valor mínimo negativo e simétrico do máximo sendo a posição central 0, ou então um valor mínimo nulo e igual ao inicial.

Arrastar o bloco actuador para a biblioteca. Não esquecer que a s-function **actuador.m** tem de estar guardada no directório da biblioteca **pid_lib**.

Alternativamente o actuador poderia ser desenvolvido como uma montagem de blocos simulink e mascarando o sub-sistema tal como acima:

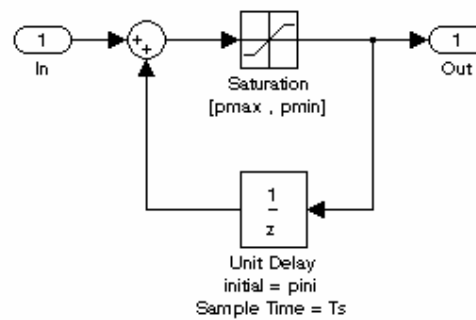


Fig. 3-7: Diagrama blocos do actuador

Colocar o actuador no modelo **pid00.mdl** na posição indicada na Fig. 3-4. Executar outra vez a simulação. Agora a resposta do PID_velocidade é igual ao PID_posição.

Se se pretender simular que os limites físicos do actuador foram ultrapassados, alterar o valor máximo do actuador para 5 e voltar a executar a simulação. Agora a resposta do PID_velocidade não ultrapassa esse valor:

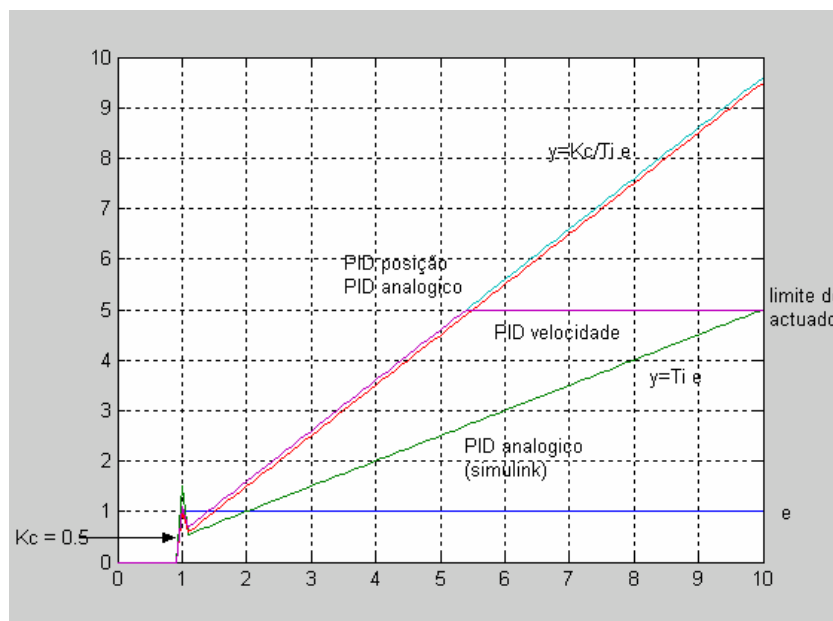


Fig. 3-8: Resposta ao degrau unitário do PID velocidade utilizando um actuador

3.1.2 Sintonia do controlador PID

A sintonia utilizada no exemplo anterior foi efectuada de acordo com o método de Ziegler Nichols para um controlador analógico e convertida para parâmetros equivalentes no controlador Digital, no entanto esta pode ser efectuada também directamente.

Se não for conhecida a função de transferência da plant esta poderá ser obtida através da curva de reacção do processo, isto é da resposta em **malha aberta** ao degrau.

Assumindo que se tem o seguinte sistema de 1ª ordem, com atraso de 0.6 segundos e como entrada um degrau de amplitude 2:

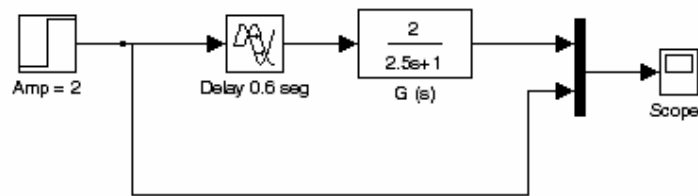


Fig. 3-9: Plant com atraso de 0.6 segundos e entrada de degrau com amplitude 2

Para processos de 1ª ordem, a curva de reacção do processo segue o padrão:

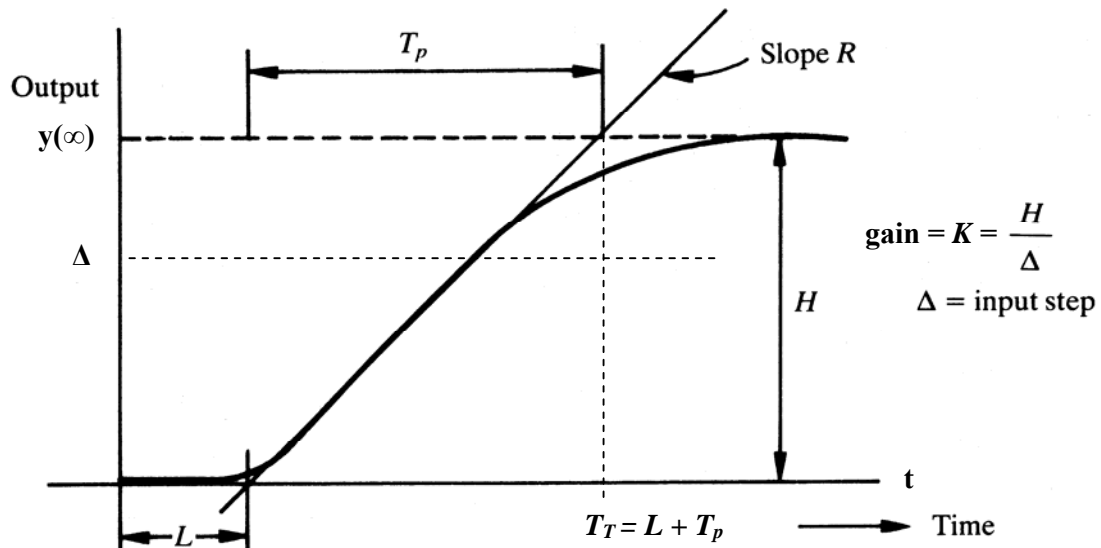


Fig. 3-10: Curva de reacção do processo

Neste caso particular será:

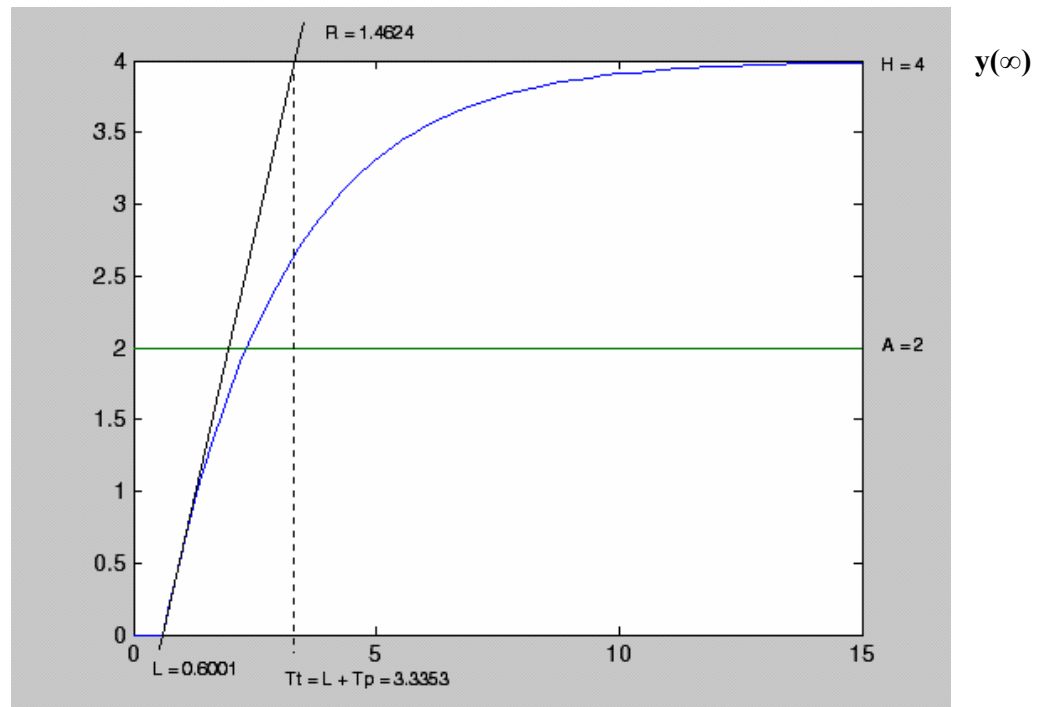


Fig. 3-11: Resposta ao degrau de amplitude 2 da Plant do diagrama anterior

O valor de L pode ser obtido fazendo com que os dados do scope sejam escritos para o workspace do Matlab, e verificando em que instante de tempo é que a resposta deixa de ser nula.

Já o tempo em que a recta com declive R intersecta a resposta final pode ser lido através da figura com o comando **ginput**, e resolvendo:

$$(3-9) \quad T_p = T_t - L = 3.3353 - 0.6001 = 2.7351$$

Assim pode-se obter o declive da recta, isto é R :

$$(3-10) \quad R = \frac{y_0 - y_1}{x_0 - x_1} = \frac{0 - 4}{0.6001 - 3.3353} = \frac{-4}{-2.7352} = 1.4624$$

E o ganho:

$$(3-11) \quad k = \frac{H}{\Delta} = \frac{4}{2} = 2$$

Sendo a função de transferência dada por:

$$(3-12) \quad G(s) = \frac{k e^{-Ls}}{T_p s + 1} = \frac{2 e^{-0.6001s}}{2.7352 s + 1}$$

Obviamente que neste caso a função de transferência correcta é conhecida:

$$(3-13) \quad G(s) = \frac{k e^{-Ls}}{T_p s + 1} = \frac{2 e^{-0.6s}}{2.5 s + 1}$$

com $L = 0.6$ e:

$$(3-14) \quad R = \frac{y_0 - y_1}{x_0 - x_1} = \frac{0 - 4}{0.6 - 2.5 + 0.6} = \frac{-4}{-2.5} = 1.6$$

Assim vai-se comparar a sintonia do PID para a função de transferência estimada (3-12) e para a correcta, dada pela equação (3-14).

Agora a sintonia do PID pela regras de Ziegler-Nichols é dada por:

$$(3-15) \quad \begin{cases} k_c = \frac{1.2}{R L} \\ T_i = 2 L \\ T_d = 0.5 L \end{cases}$$

e de acordo com Goff:

$$(3-16) \quad T_s = 0.3 L$$

usando a transformação para parâmetros digitais (3-4), Takahashi propôs a seguinte regra:

$$(3-17) \quad \begin{cases} k_p = \frac{1.2}{R (L + T_s)} \\ k_i = \frac{0.6 T_s}{R (L + T_s / 2)^2} \\ \frac{0.5}{R T_s} \leq k_d \leq \frac{0.6}{R T_s} \end{cases}$$

Para a função estimada com $T_s = 0.3 * 0.6001 = 0.18003$, têm-se então:

$$(3-18) \begin{cases} k_p = \frac{1.2}{1.4624 * (0.6 + 0.18003)} = \mathbf{1.0520} \\ k_i = \frac{0.6 * 0.18003}{1.4624 * (0.6 + 0.18003 / 2)^2} = \mathbf{0.1551} \\ \frac{0.5}{1.4624 * 0.18003} \leq k_d \leq \frac{0.6}{1.4624 * 0.18003} \Leftrightarrow \mathbf{1.8991 \leq k_d \leq 2.279} \quad (\text{média } 2.089) \end{cases}$$

e para a correcta, com $T_s = 0.3 * 0.6 = 0.18$:

$$(3-19) \begin{cases} k_p = \frac{1.2}{1.6 * (0.6 + 0.18)} = \mathbf{0.9615} \\ k_i = \frac{0.6 * 0.18}{1.6 * (0.6 + 0.18 / 2)^2} = \mathbf{0.1418} \\ \frac{0.5}{1.6 * 0.18} \leq k_d \leq \frac{0.6}{1.6 * 0.18} \Leftrightarrow \mathbf{1.7361 \leq k_d \leq 2.0833} \quad (\text{média } 1.9097) \end{cases}$$

Para aplicar estes parâmetros nos controladores PID já desenvolvidos as s-function devem ser alteradas para receberem os parâmetros K_p , K_i e K_d e não os converter a partir de K_c , T_i e T_d .

Por isso antes de adicionar o controlador na malha como mostra a figura abaixo, podem ser criados 2 novos blocos para o algoritmo de posição e velocidade.

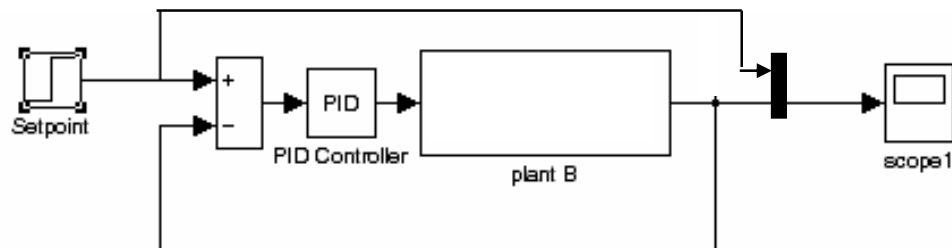


Fig. 3-12: Exemplo de Plant controlada por PID

Estes parâmetros também podem ser estimados analiticamente através da resposta em malha aberta, de acordo com:

$$(3-20) \quad T_T = T_p + L = \frac{\int_0^{\infty} [y(\infty) - y(\tau)] d\tau}{y(\infty)}$$

Isto é a área superior entre curva de resposta em malha aberta e a resposta final $y(\infty)$ dividida pela resposta final dá-nos o Tempo total (T_t). O atraso (L) pode ser medido verificando quando a resposta deixa de ser nula e assim pode-se calcular a constante de tempo T_p .

Se se tiver um vector com resposta em malha fechada (y) e outro com vectores com os tempos correspondentes (t) o seguinte script, **id1.m**, identifica (numericamente) a função de transferência de 1ª ordem na resposta ao degrau de amplitude A :

```
function [K, Tp, L, R] = id1(y, t, A)

% Atraso
I=find(y>0)
L=t(I(1)-1)

% Constante de tempo Tp de acordo com (3-20)
yf = y(length(y));
tfi = t(length(t));
Tt = ((yf*tfi)-trapz(t,y))/yf;
Tp = Tt - L;

% Declive
R = yf / Tp; %Não necessário para este método

% Ganho
K = yf / A; % 1 pois e resposta ao degrau unitário
```

Algoritmo 3-4: Identificação de F.T. 1ª ordem

Os vectores podem ser retirados a partir do Scope, fazendo com que este grave as curvas numa variável do workspace: **Scope Parameters -> Data history**.

Se se pretender visualizar a resposta ao degrau da função de transferência estimada pode-se adicionar à função acima:

```
%Mostra resposta a FT estimada
[y,t]=step(tf(A*K, [T 1]));
y=[0; y];
t=[0; t+L];
plot(t,y)
hold on
grid
ylabel('Amplitude')
xlabel('time (s)')
title ('Estimated TF step response')
plot([L Tt], [0 yf], 'r')
hold off
```

Algoritmo 3-5: Mostra curva de resposta estimada

Para este caso os valores obtidos são:

$K = 1.9991$ $T = 2.4928$ $L = 0.6000$ ($R = 1.6039$)

Que é muito próximo da FT real. Pode-se também de acordo com (3-16) e (3-17) desenvolver um script que calcule os parâmetros para a versão discreta do PID: K_p , K_i , K_d e T_s :

```
function [Kp, Ki, Kd, Ts] = pid_id_d(y, t, A)

[K,T,L,R]=idl(y,t,A);
Ts = 0.3 * L;
Kp = 1.2 / (R * (L +Ts));
Ki = (0.6 * Ts) / (R * (L + Ts/2)^2);
Kd = (0.5/(R * Ts) + 0.6/(R * Ts))/2;    %Ponto medio de Kd
```

Algoritmo 3-6: Cálculo dos parâmetros para PID discreto

Também seria válido calcular os parâmetros para o PID analógico: K_c , T_i e T_d , de acordo com (3-15) e convertê-los para os parâmetros do modelo discreto:

```
function [Kp, Ki, Kd, Ts] = pid_id_ad(y, t, A)

[K,T,L,R]=idl(y,t,2);

Kc=1.2/(R*L);
Ti=2*L;
Td=0.5*L;

Ts = 0.3 * L;
Kp = Kc;
Ki = Kc*Ts/Ti;
Kd = Kc*Td/Ts;
```

Algoritmo 3-7: Cálculo dos parâmetros para PID Analógico e conversão para discreto

Na figura abaixo tem-se a comparação da resposta controlada por PID de posição para a função de transferência estimada (a vermelho) e a para a correcta (a azul), sintonizado de acordo com (3-18) e (3-19):

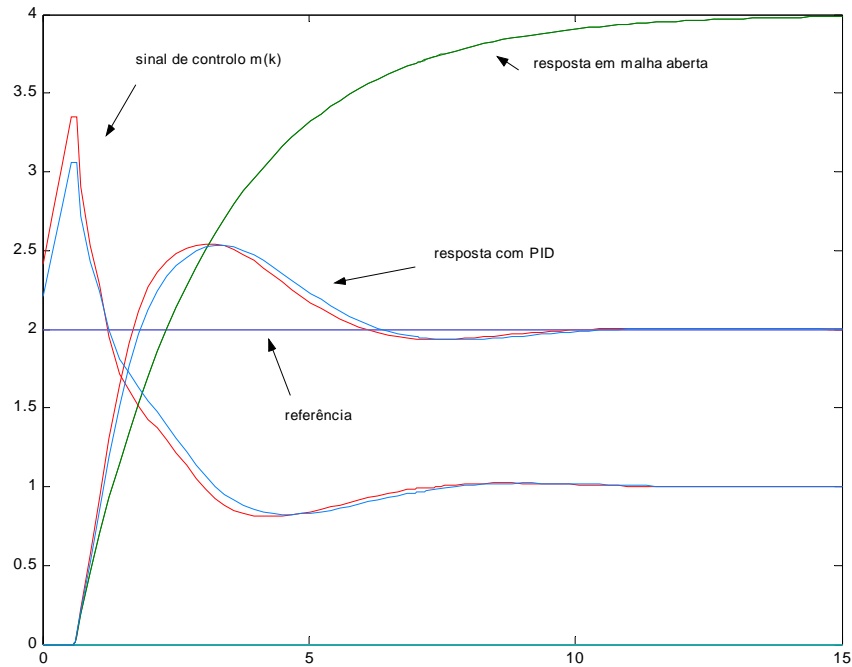


Fig. 3-13: Controlo com PID de posição sintonizado de acordo com (3-18) e (3-19)

Na figura seguinte tem-se a comparação da resposta controlada por PID de velocidade para a função de transferência estimada (a vermelho) e a para a correcta (a azul), sintonizado também de acordo com (3-18) e (3-19). Repare-se que o overshoot é menor.

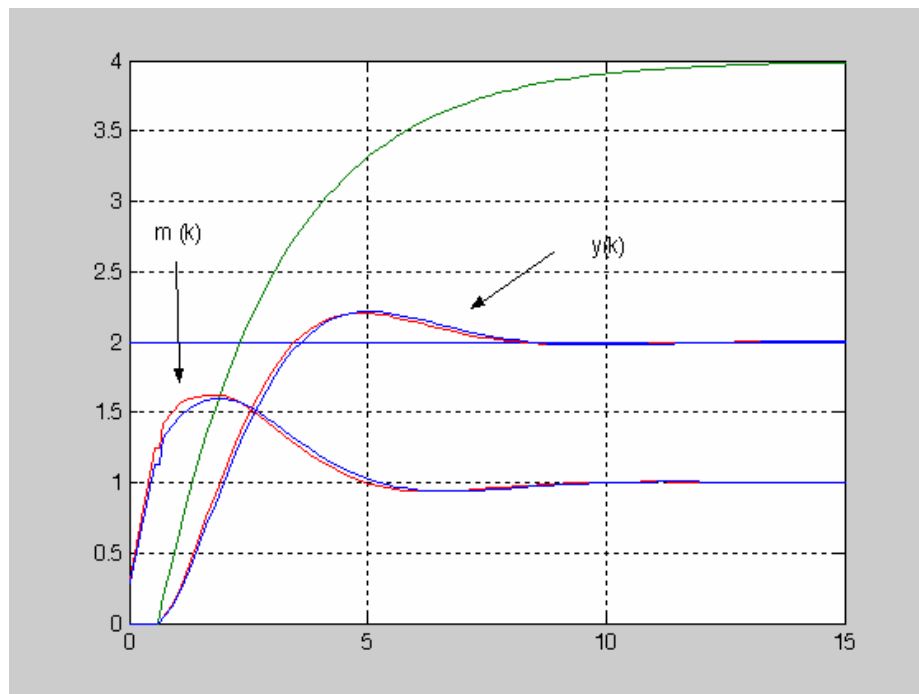
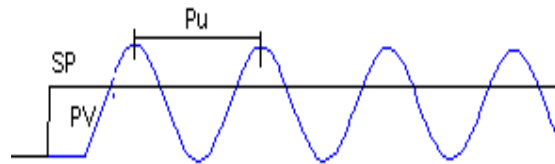


Fig. 3-14: Controlo com PID de velocidade sintonizado de acordo com (3-18) e (3-19)

Por outro lado se a função de transferência for de 2ª ou 3ª ordem pode ser usada uma variante do método de Ziegler-Nichols em **malha fechada**:

- 1: Fazer montagem em malha fechada com realimentação unitária positiva de um controlador P puro (isto é um ganho) em série com o processo. (Ou Desligar D e I no controlador PID)
- 2: Selecionar como referência um degrau
- 3: Aumentar o ganho P até que as oscilações tenham uma amplitude constante. Este ganho é chamado ganho crítico e designado por K_u .
- 4: Identificar o Período das oscilações P_u .



- 5: Sintonizar o controlador de acordo com:

	K_c	τ_I	τ_D
PI	$0.45 K_u$	$P_u / 1.2$	
PID	$K_u / 1.7$ ou $0.6 K_u$	$P_u / 2$	$P_u / 8$

Alternativamente pode ser usada a **Tyres-Luyben Tuning Chart**, também conhecida por TLC, que tem como objectivo reduzir efeitos oscilatórios e aumentar a robustez:

	K_c	τ_I	τ_D
PI	$K_u/3.2$	$2.2 P_u$	
PID	$K_u/2.2$	$2.2 P_u$	$P_u/6.3$

Veja-se um exemplo. Seja o processo de 2ª ordem dado por:

$$G(s) = \frac{k e^{-Ls}}{T_1 s^2 + T_2 s + x} = \frac{e^{-0.5s}}{2s^2 + s + x}$$

Que corresponde ao modelo simulink da figura seguinte:

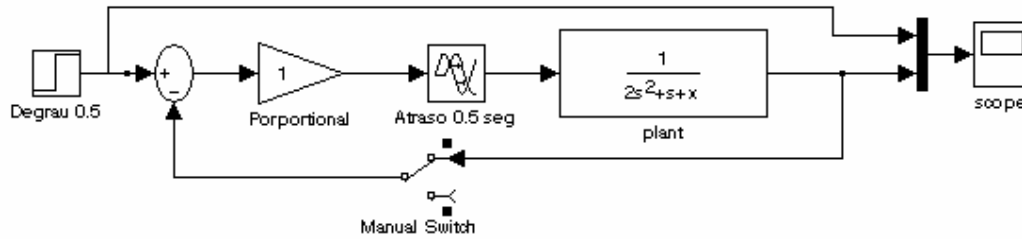


Fig. 3-15: Controlo com PID de processo de 2º ordem

Com $x = 0$, a resposta do processo $G(s)$ em malha aberta a um degrau com amplitude 0.5 é instável, como mostra a figura abaixo, pois tem um polo duplo na origem:

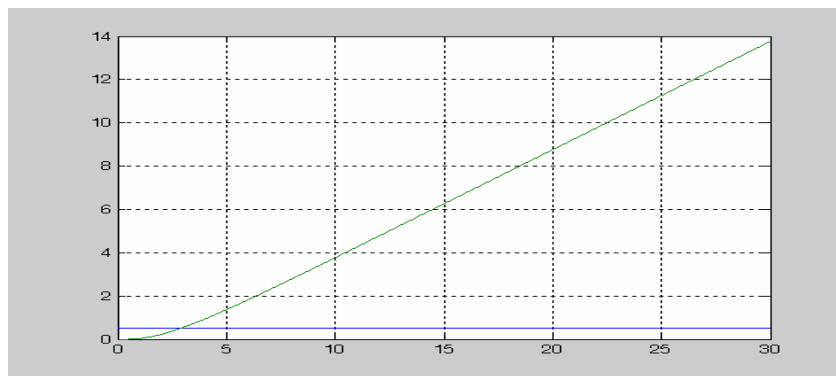


Fig. 3-16: Resposta em malha aberta do processo $G(s)$ com $x = 0$

Fechando o interruptor na malha de realimentação e aumentando o ganho proporcional em série com o processo até $P = 2.07$ atinge-se o ganho critico $K_u = P = 2.07$. Pode-se agora medir o período de oscilação nessas condições $P_u=7.05$.

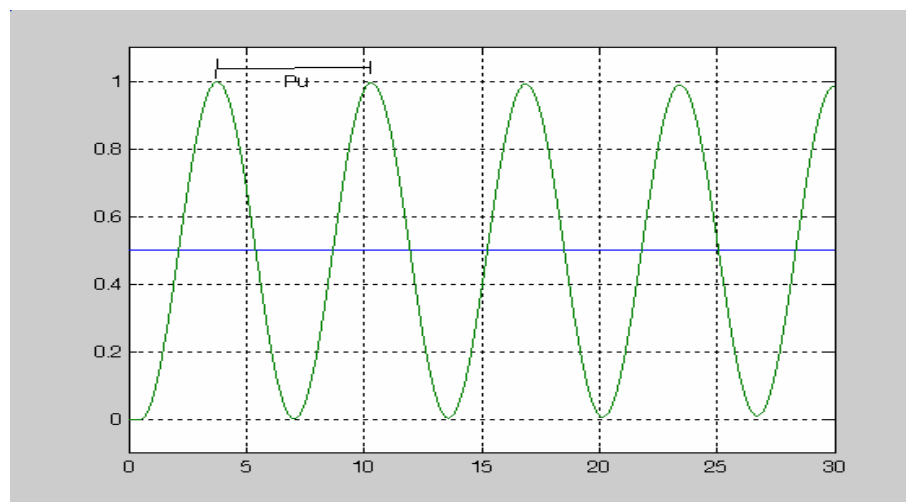


Fig. 3-17: Resposta em condições de ganho critico com $K_u=2.07$ e $P_u = 7.05$

Pode-se também escrever um script que faça esta análise a partir da saída acima e de K_u , retornando os parâmetros do controlador PID analógico. Posteriormente se necessário estes terão de ser convertidos para os parâmetros digitais:

```
function [Kc, Ti, Td, Pu] = pid_id_cl(y, t, Ku, TLC)
%Se TLC <> 0 usa Tyreus-Luyben chart para sintonia

%Procura 1º maximo
max=0;
for x=1:length(t)
    if y(x) < max break; end;
    max=y(x);
    x=x+1;
end

%Procura próximo mínimo
min=max;
for x=x:length(t)
    if y(x) > min break; end;
    min=y(x);
    x=x+1;
end

Pu=t(x);

if TLC == 0
    %Ziegler Nichols
    Kc=Ku/1.7; % ou Ku*0.6;
    Ti=Pu/2;
    Td=Pu/8;
else
    %Tyreus-Luyben
    Kc=Ku/2.2;
    Ti=Pu*2.2;
    Td=Pu/6.3;
end
```

Algoritmo 3-8: Cálculo dos parâmetros para PID Analógico em malha fechada

Para este caso os parâmetros estimados são:

$$K_c = 1.2176 \quad T_i = 3.5250 \quad T_d = 0.8812 \quad P_u = 7.0500$$

O intervalo de amostragem foi seleccionado para 0.01 segundos. A resposta apresenta-se a seguir:

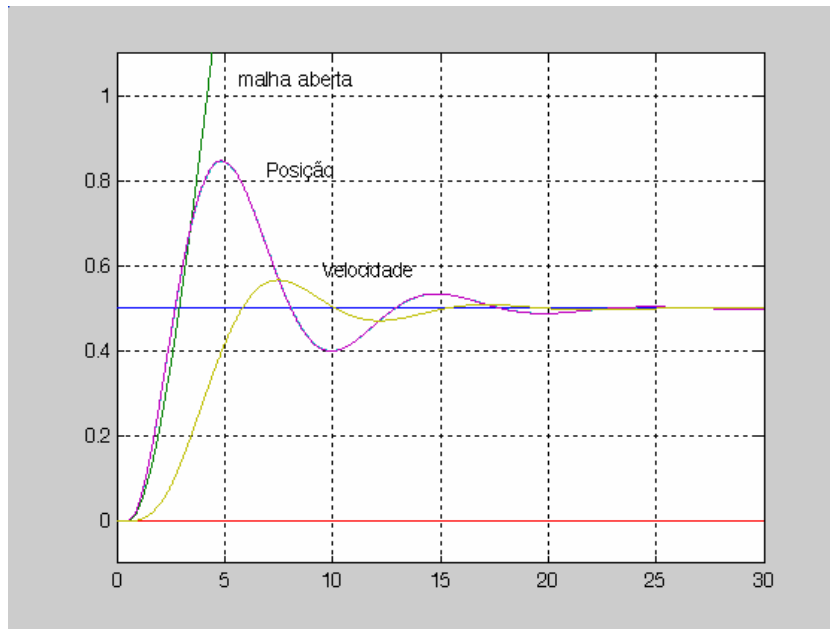


Fig. 3-18: Controlo com PID de posição sintonizado de acordo com Algoritmo 3-1

Modificando agora o processo, fazendo $x=1$, a resposta em malha aberta não é instável e não apresenta erro em regime estacionário:

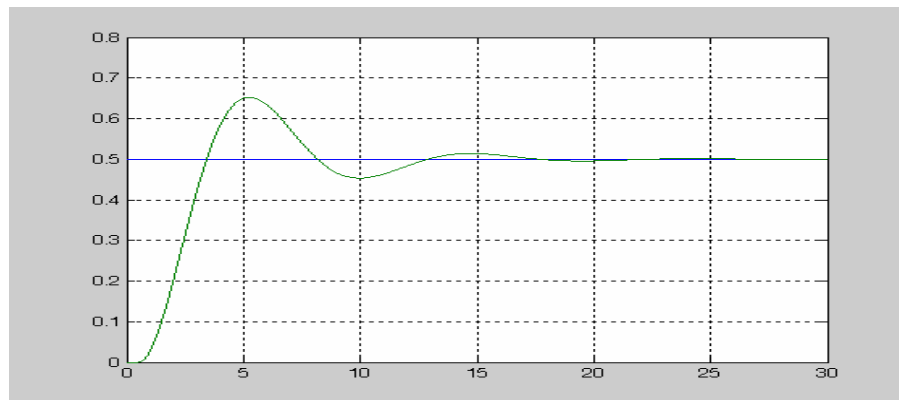


Fig. 3-19: Resposta em malha aberta do processo $G(s)$ com $x = 1$

Para o ganho crítico $K_u=2.12$ em malha fechada obtém-se $P_u = 5.84$, e os parâmetros estimados são:

$$K_c = 1.2471 \quad T_i = 2.9200 \quad T_d = 0.7300$$

Com um intervalo de amostragem de 0.01 segundos, a resposta é:

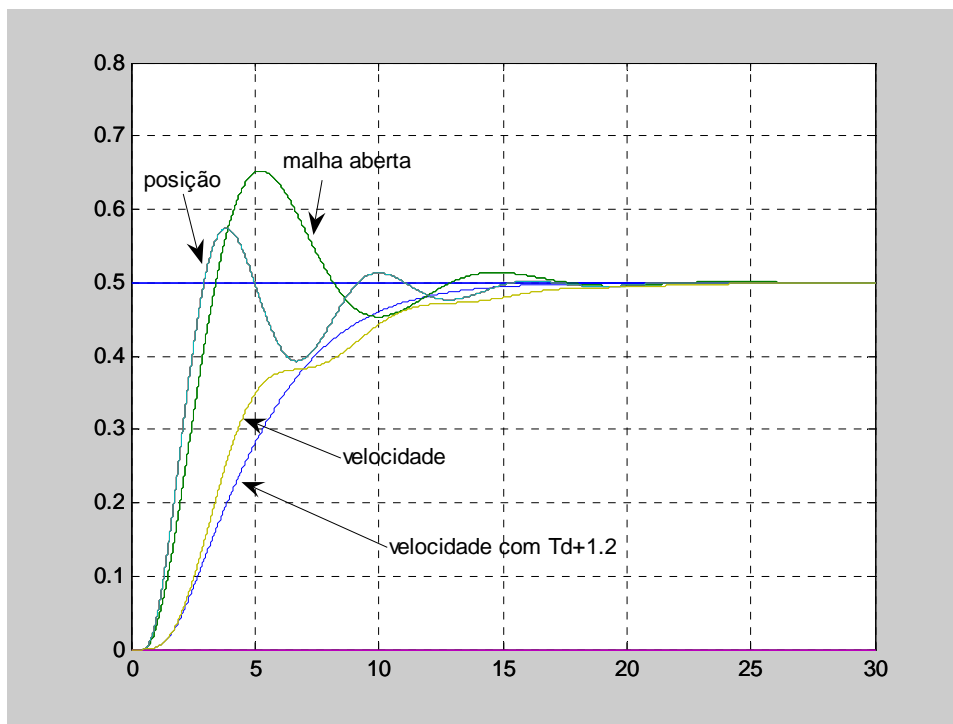


Fig. 3-20: Controlo com PID de posição sintonizado de acordo com Algoritmo 3-1

Como se pode observar a sintonia para o algoritmo de velocidade precisa ainda de alguma afinação. Somando 1.2 ao valor de T_d encontra-se uma melhor afinação.

3.2 Formas alternativas do algoritmo PID

3.2.1 Transferência sem saltos (bumpless transfer)

Seguidamente apresenta-se um algoritmo modificado de modo a possibilitar a transferência do controlo automático para o manual o mais suavemente possível. O controlo manual assumido é:

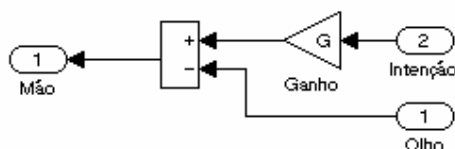


Fig. 3-21: Simulação de controlo manual

Onde a intenção corresponde ao sinal de referência ou setpoint desejado, o olho a uma leitura da saída do processo e a mão ao sinal de controlo a aplicar ao processo. O ganho pode ser variado de modo amplificar a referência reduzindo o erro em regime estacionário. Para este caso considere-se $G = 1.5$.

Neste caso a intenção ou a referência, é multiplicada por um factor de 1.5 de modo a eliminar o erro em estado estacionário sem afectar a estabilidade.

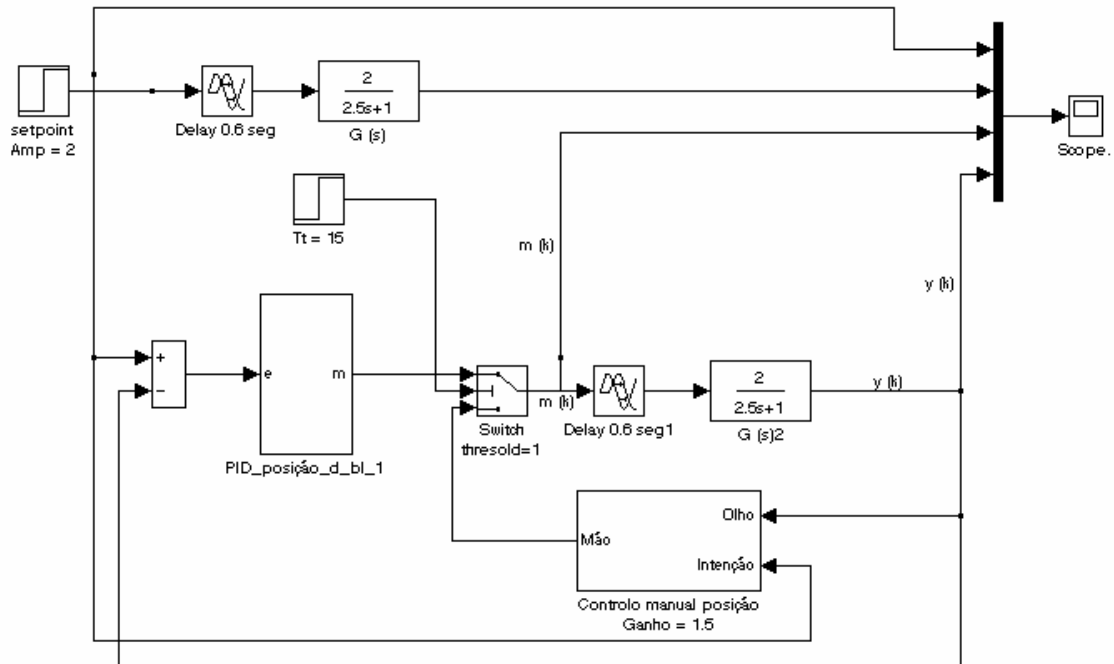


Fig. 3-22: Simulação de bumpless transfer para método 1

No instante de tempo $t = 15$, é efectuada a transição do modo manual para automático. As alterações ao algoritmo PID de posição para o método 1:

```
function [sys, x0, str, ts] = pid_bump_01 (t, x, u, flag, ts, kp, ki, kd, tt, MV)
persistent s ek_1
(...)
if flag == 3           %tt é o instante de transição manual -> automático
    if t > tt-1       %Simula ligação do controlador PID neste instante
        ek_1 = u(1);
        s = 0;
    end

    ek=u(1);
    s = s + ek;
```

$$m = k_p \cdot e_k + k_i \cdot s + k_d \cdot (e_k - e_{k-1}) + \mathbf{MV};$$

$$e_{k-1} = e_k;$$

$$\text{sys} = m;$$

Algoritmo 3-9: PID bumpless método 1 (alterações ao Algoritmo 3-1 PID de posição)

A figura seguinte mostra a resposta do algoritmo PID de posição na transferência do modo de controlo manual para automático (que é diferente do método 1 com $\mathbf{MV}=0$):

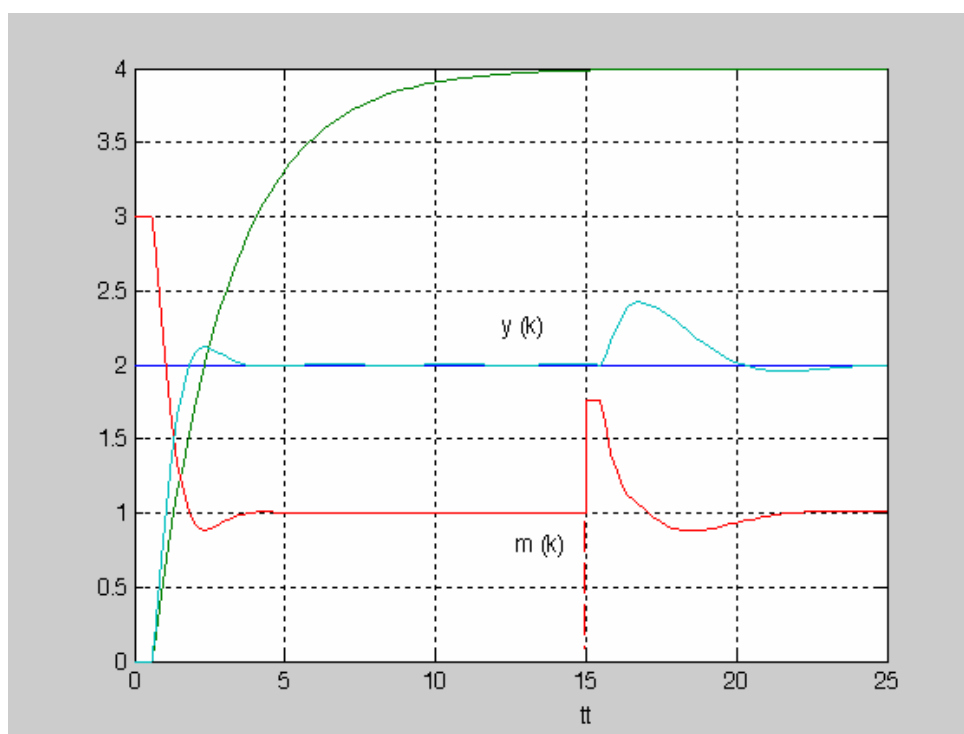


Fig. 3-23: Resposta sem bumpless transfer (t = 15 segundos)

Na figura seguinte encontra-se a resposta com o algoritmo modificado para possibilitar a transferência sem saltos pelo método 1. O valor de $\mathbf{MV} = 1$ é o ponto de operação do controlador m_k , ou a posição do actuador, quando da transição e pode ser obtido através de ensaios.

A sintonia PID é efectuada de acordo com o já determinado em (3-19):

$$k_p=0.9615 \quad k_i=0.1418 \quad k_d=(1.7361+2.0833)/2 \quad t_s=0.18$$

Como já referido o instante de transição é em: $tt=15$.

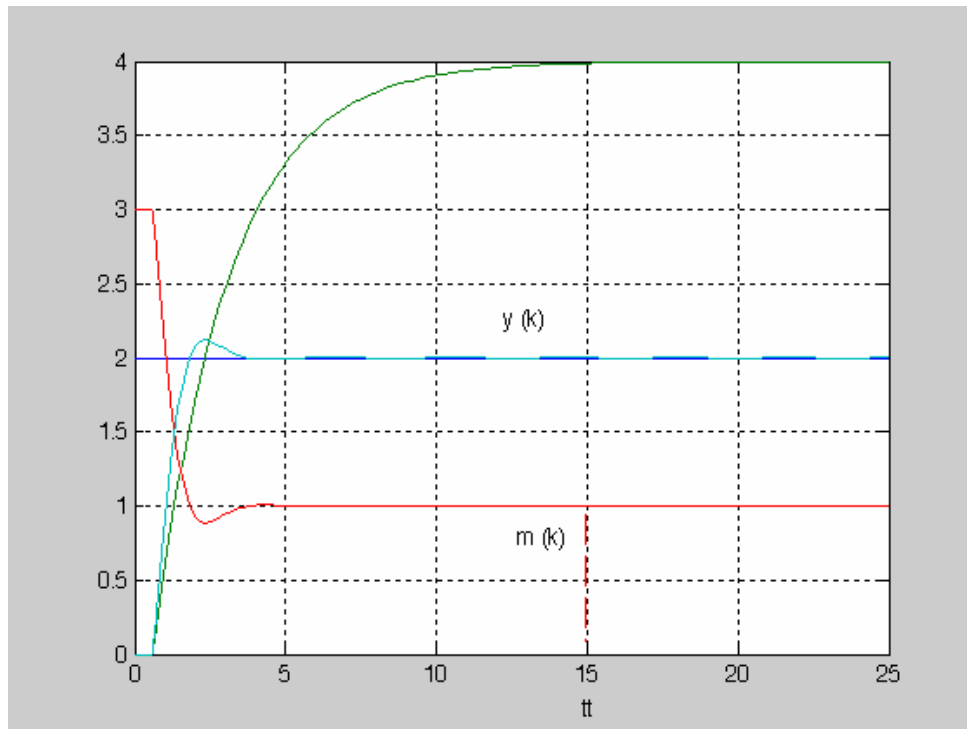


Fig. 3-24: Resposta bumpless transfer (método 1) em $t = 15$ segundos ($MV = 1$)

Se se variar MV a transição apresentará um salto.

A seguir vai ser ensaiado o algoritmo de velocidade.

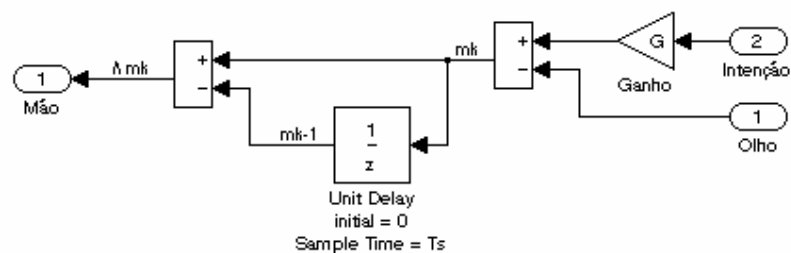


Fig. 3-25: Simulação de controlo manual

Repare-se que neste caso o controlo manual terá de ser alterado de modo que o actuador seja incrementado ou decrementado, isto é pretende-se a variação no sinal de controlo de acordo com (3-5). Então o controlo manual terá de ser redesenhado de acordo com a figura anterior. Deve ser fornecido também o intervalo de amostragem ao actuador de modo que o sinal m_k seja atrasado um instante de amostragem.

Abaixo tem-se as alterações no modelo para utilizar o algoritmo PID de velocidade:

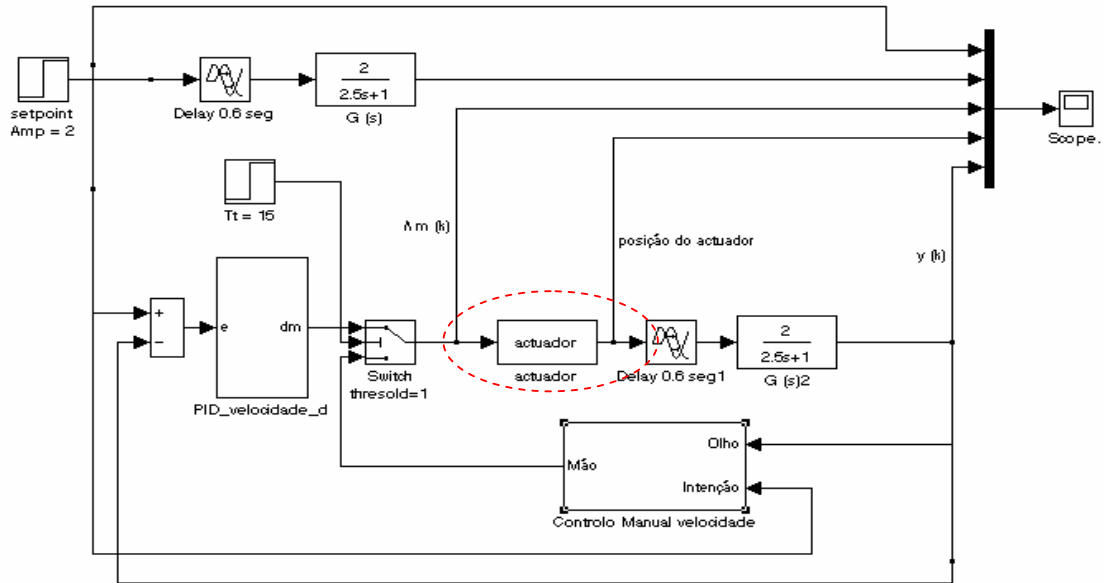


Fig. 3-26: Simulação de bumpless transfer para método 3 (algoritmo de velocidade)

A figura abaixo apresenta a resposta:

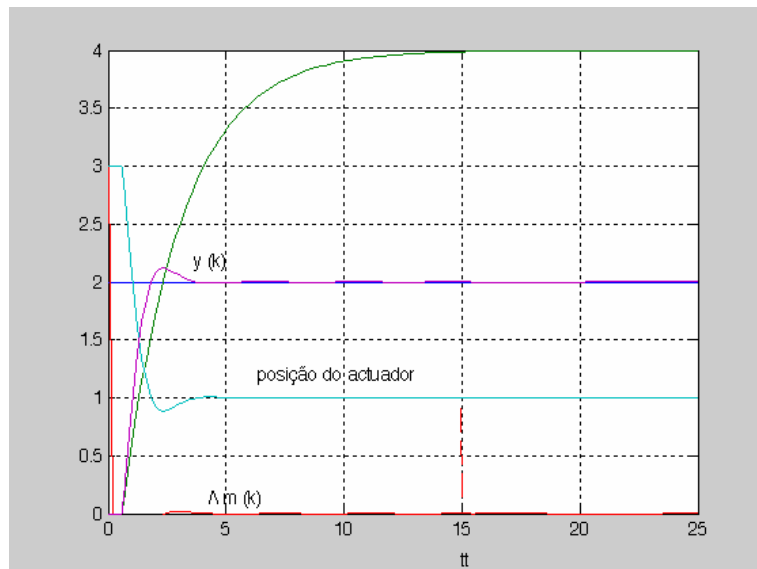


Fig. 3-27: Resposta bumpless transfer (método 3 algoritmo de velocidade) em $t = 15$ seg.

Assim consegue-se um transferência sem salto, sem ter de se ensaiar ou monitorizar constantes tais como MV.